

بررسی چندشکلی ژن‌های *Wx-A1* و *Wx-B1* و اثر جهش‌های آنها بر ساختار آنزیم GBSS در برخی ارقام تجاری گندم‌های ایرانی

فرج الله شهریاری^۱ - مسعود فخرفشاری^{۲*} - جعفر ذوالعلی^۳

تاریخ دریافت: ۱۳۸۹/۱۱/۶

تاریخ پذیرش: ۱۳۹۰/۲/۱۸

چکیده

آنژیم GBSS که نتیجه بیان ژن واکسی (Wx) است، کنترل کننده نسبت آمیلوز به آمیلوپکتین در نشاسته می‌باشد. عدم بیان آنزیم مذکور و یا غیرفعال بودن آن سبب کاهش مقدار آمیلوز نشاسته و افزایش سهم آمیلوپکتین می‌گردد. گندم نان (*Triticum aestivum L.*) واکسی به نامهای *Wx-D1* و *Wx-B1* است که تولید نشاسته تمام واکسی در آن مستلزم غیرفعال بودن هر سه این ژن‌ها می‌باشد. این پژوهش با هدف بررسی وضعیت چندشکلی مکان ژنی *Wx-A1* و *Wx-B1* به عنوان مقادمه‌ای بر تولید گندمی با نشاسته تمام واکسی انجام شد. قطعات ژنی مربوط به *Wx-A1* و *Wx-B1* در ۲۰ نمونه از ارقام گندم تراپلوبید و هگزابلوبید ایرانی در واکنش‌های PCR با آغازگرهای اختصاصی تکثیر و چندشکلی نمونه‌های انتخاب شده با استفاده از تکنیک‌های PCR-RFLP و توالی‌بایی مستقیم بررسی شد. با استفاده از روش‌های فوق، جهشی در بین لوکوس *Wx-B1* مشخص نشد اما با بررسی مکان ژنی *Wx-A1* نمونه‌ها چندین جهش در ارقام هامون و الوند مشخص گردید. بر اساس تعیین توالی نمونه‌های دارای جهش و بررسی بیوانفورماتیکی اثر جهش‌های شناخته شده بر ویژگی‌های ساختاری آنزیم GBSS، ارقام الوند و هامون به عنوان گزینه‌های اصلی حامل آلل نول در مکان ژنی *A1* معرفی می‌گردد.

واژه‌های کلیدی: آلل نول، جهش، ژن واکسی، گندم، PCR-RFLP

به طور معمول از ۲۵ درصد آمیلوز و ۷۵ درصد آمیلوپکتین تشکیل شده است. مولکول‌های نشاسته در گرانول‌های نیمه کریستالی نظم می‌گیرند که بسته به گونه‌گیاهی و اندامی که در آن ذخیره می‌شوند، شکل و اندازه متفاوتی دارند^(۱). از جمله مصارف صنعتی نشاسته، تولید کاغذ با کربن اندک، چسب‌های صنعتی، فوم‌هایی با خفات بسیار ریز، تولید مواد آرایشی، اتانول و پلاستیک‌های قابل تجزیه شدن می‌باشد^(۲). مصرف صنعتی نشانه گندم در اتحادیه اروپا به $۲/۵ \times ۱۰^۵$ تن در سال می‌رسد. این رقم در کشور انگلیس در حدود $۲/۲ \times ۱۰^5$ تن است که معادل ۲۵ درصد نشاسته مصرف شده در این کشور می‌باشد^(۳). البته سهم مصرف صنعتی نشاسته گندم به سرعت در حال افزایش است زیرا صنایع مختلف به علت کمتر بودن هزینه تولید نشاسته گندم و تنوع موجود در نشاسته آن، استفاده از آن را به نشاسته‌های دیگر ترجیح می‌دهند^(۴). بیشترین مصرف غیر تقدیمی نشاسته در صنعت تولید کاغذ می‌باشد به طوری که در هر صفحه کاغذ معمولی تا ۸٪ نشاسته وجود دارد. نشاسته هم به صورت مستقیم

مقدمه

از نظر صنایع غذایی، ۵۵ درصد کربوهیدراتات مصرف شده در جهان^(۱۵) و ۴۰ درصد انرژی مورد نیاز بدن از گندم تأمین می‌شود^(۳). مصرف سرانه گندم در جهان ۱۰۲ کیلوگرم ولی در ایران به علت رژیم غذایی خاص ۲۲۰ کیلوگرم می‌باشد به طوری که در طبقات کم درآمد گاهی تا حدود ۷۵٪ انرژی و ۸۰٪ پروتئین مورد نیاز بدن از گندم تأمین می‌گردد^(۱). علاوه بر اهمیت آن از نظر صنایع غذایی، از نظر سیتوژنتیکی نیز به عنوان یک گیاه مدل محسوب می‌شود که مرجع بررسی ژنوم‌های پلی‌بلوئید است^(۴). نشاسته آندوسپرム غلات

۱-دانشیار، گروه بیوتکنولوژی و بهنرآدی گیاهی، دانشکده کشاورزی، دانشگاه فردوسی مشهد، مشهد، ایران

۲-دانشجویی دکتری، گروه بیوتکنولوژی و بهنرآدی گیاهی، دانشکده کشاورزی، دانشگاه فردوسی مشهد، مشهد، ایران

۳-نویسنده مسئول: (Email: fakhrfeshani.m@gmail.com) استادیار، گروه بیوتکنولوژی و بهنرآدی گیاهی، دانشگاه باهنر کرمان، کرمان، ایران

شکسته شدن نشاسته در اثر حرارت مستقیم صورت گیرد، به پلیمرهای حاصل، پیروودکسترن^۳ و به فرایند منتهی به آن دکسترن زایی^۵ گفته می‌شود. پیروودکسترن‌هایی که حین پخته شدن نان بوجود می‌آیند عامل قهوه‌ای (برشته) شدن و عطر نان تازه است. با توجه به اینکه شکسته شدن پیوندهای α به β که عامل ایجاد شاخه‌های فرعی موجود در آمیلوپیکتین می‌باشد، در اثر حرارت راحت‌تر صورت می‌گیرد؛ در نتیجه هرچه محتوای آمیلوپیکتینی نشاسته بالاتر باشد، تولید پیروودکسترن‌ها در حین پختن نیز بیشتر می‌شود^۵ و ^{۱۱}). ژنهای واکسی تولید ایزوفرم‌های مختلف پروتئین‌های واکسی یا GBSS را کنترل می‌کنند. این پروتئین‌ها از اصلی‌ترین آنزیم‌های موثر در سنتز آمیلوز در آندوسپرم گیاهان می‌باشند و هرگونه جهشی در مکان ژنی آنها، که باعث عدم تولید یا کاهش فعالیت این پروتئین‌ها شود، بر محتوای آمیلوزی آندوسپرم اثر گذاشته و باعث تولید نشاسته‌هایی با آمیلوز اندک یا بدون آمیلوز (نشاسته‌های واکسی) می‌گردد. در گندم نان سه مکان ژنی به نام‌های $Wx-B_1$ ، $Wx-A_1$ ، $Wx-D_1$ $Wx-D_1$ سنتز این پروتئین‌ها را کنترل می‌کنند. ژن A_1 در کروموزوم شماره ۷ (VA)، ژن B_1 در کروموزوم شماره ۴ (VD) و ژن D_1 در کروموزوم شماره ۷ (VD) وجود دارد^{۱۵} و ^{۲۴}). عدم حضور هر یک از ایزوفرم‌های GBSS را به غیرفعال بودن مکان ژنی آن نسبت می‌دهند و آن را اصطلاحاً نول^۶ می‌خوانند^(۱۵). غیرفعال بودن مکان‌های ژنی واکسی را با اضافه کردن حروف کوچک «b» در انتهای نام آن مکان ژنی و به صورت $Wx-D_1b$ ، $Wx-B_1b$ ، $Wx-A_1b$ نشان می‌دهند. واژه «واکسی» به معنای «mom» می‌باشد و اصطلاح واکسی بودن نشاسته در رابطه با گیاهانی به کار برده می‌شود که نشاسته آنها فاقد آمیلوز بوده^{۱۷} و ^{۲۵}) یا نسبت آمیلوز به آمیلوپیکتین در نشاسته آنها بسیار پایین است^(۸). واژه «واکسی» اولین بار در مورد موتانت‌هایی از ذرت به کار برده شد که محتوای آمیلوزی نشاسته آنها بسیار پایین بود و به همین دلیل آندوسپرم خشک شده آنها به حالت مات (momی) دیده می‌شد در حالی که آندوسپرم دانه‌های غیرموتان (وحشی) به صورت نیمه شفاف بروز پیدا می‌کرد. بررسی‌های متعدد نشان داده است که موتانت‌های واکسی ذرت، جو و دیگر غلات نیز دارای کمبود آنزیم GBSS و آمیلوز می‌باشند^(۱۵).

مواد و روش‌ها

هدف اصلی این پژوهش جداسازی تمام طول ژن‌های $Wx-A_1$

- 4- Pyrodextrin
- 5- Dextrinization
- 6- Null

و هم به شکل تعییر یافته در تولید پلاستیک‌های زیستی^۱ کاربرد دارد. در حالت مستقیم گرانول یا ژلاتین نشاسته به عنوان پرکننده‌های فضایی یک شبکه تور مانند از رشته‌های پلیمری غیر زیستی استفاده می‌شود. در حالت غیر مستقیم نیز طی فرایندهایی نشاسته به پلی استیک اسید تبدیل می‌شود که می‌توان از آن همانند پلیمرهای شیمیایی جهت تولید لوازم مختلف استفاده کرد^(۱۱ و ۱۲). حضور آمیلوز جهت تشکیل گرانول‌های نشاسته ضروری نیست و ساختار اولیه گرانول‌ها به خاطر تا خودرن مولکول‌های آمیلوپیکتین در جهت‌های مشخصی شکل می‌گیرد^(۲۳). اگر نشاسته در دمای اتاق در محیط آبی قرار گیرد در آب حل نمی‌شود ولی گرانول‌های آن تا ۵۰٪ وزن خود را آب جذب می‌کنند و متورم می‌شوند. در اثر حرارت دادن، نشاسته در آب حل و گرانول‌های آن متورم و تخریب شده و در این حالت مولکول‌های کوچک آمیلوز وارد فضای بین گرانولی می‌شوند. این مولکول‌ها با ایجاد شبکه‌ای تار مانند در فضای بین گرانول‌ها باعث حفظ آب و افزایش غلظت محلول می‌گردد که به این فرایند اصطلاحاً ژلاتینی شدن نشاسته می‌گویند. تشکیل این لایه ژلاتینی در فرایند پختن محصولات نشاسته‌ای نرم و یا حجیم همچون نان و کیک، باعث حفظ و پراکندگی آب در سراسر فراورده شده و تردی و تازگی آن را حفظ می‌کند^(۱ و ۷) پلی‌ساقاریدهای عامل ژلاتینی شدن در اثر گذشت زمان و سرد شدن نشاسته، دوباره به هم پیوسته و حالتی پایدار پیدا می‌کنند. به این فرایند رتروگرسیون گفته می‌شود. در این حالت شبکه تار مانند ایجاد شده در فرایند ژلاتینی شدن از بین می‌رود و قابلیت نگهداری آب در فضای بین گرانول‌ها بسیار پایین می‌آید. با آزاد شدن آب موجود در بافت فراوردها و انتقال آن به سطح محصول، نرمی و تازگی آن بسیار کاهش می‌یابد که اصطلاحاً گفته می‌شود فراورده بیات^۳ شده است. در فرایند رتروگرسیون، ابتدا مولکول‌های آمیلوز طی چند ساعت با تشکیل یک مارپیچ دوگانه، ساختارهای کربیستالی پایداری بوجود می‌آورند. کربیستالی شدن شاخه‌های جانبی آمیلوپیکتین بسیار کندرت انجام می‌شود و ممکن است چند روز تا چند هفته نیز به طول انجامد. به همین دلیل استفاده از نشاسته‌هایی با محتوای آمیلوپیکتینی بالا در تولید فراورده‌هایی همچون نان و کیک به دلیل طولانی‌تر بودن فرایند از دادن آب و ماندگاری بیشتر محصول، مقیولیت بیشتری دارد^(۱ و ۷ و ۱۱). نشاسته تحت تاثیر اسیدها، آنزیم‌های مختلف و حرارت مستقیم به پلی‌ساقاریدهای کوچکتری شکسته می‌شود. محیط اسیدی و آنزیم‌ها نشاسته را هیدرولیز کرده و باعث تولید پلی‌ساقاریدهایی به نام دکسترن^۳ می‌شوند. در صورتی که

- 1- Bioplastic
- 2- Staling
- 3- Dextrin

نتایج

بررسی چندشکلی وجود چندین جهش را در ارقام هگزاپلولید هامون و الوند در فاصله بین نوکلئوتیدهای ۱ و ۳۵۵ در قطعه دوم ژن وaksی A1 را نشان داد (شکل ۱). بررسی قطعه اول ژن وaksی A1 و هر دو قطعه ژن وaksی B1 با استفاده از تکنیک PCR-RFLP در بین ۲۰ رقم مورد مطالعه، تنوعی را نشان نداد. با توجه به اینکه روش PCR-RFLP تنوع و جهش را در محل برش آنزیمی و همچنین حذف و اضافه‌های چند نوکلئوتیدی در فاصله بین مکان‌های برشی آنزیم‌ها را مشخص می‌کند، می‌توان نتیجه گرفت که این نوع جهش‌ها در فاصله نوکلئوتیدهای ۱۲۰ تا ۱۰۹۱ و ژن وaksی A1 و نوکلئوتیدهای ۱۷۵ تا ۱۹۲۷ مکان ژنی وaksی B1 نمونه‌های مورد مطالعه وجود ندارد.

مقایسه توالی نوکلئوتیدی بخش دوم ژن Wx-A1 رقم الوند با توالی ثبت شده این ژن در پایگاه NCBI (شماره دستیابی AB019622) نشان داد که توالی این قطعه با نوکلئوتیدهای ۱۰۱۱ تا ۲۲۳۵ توالی ثبت شده بیش از ۹۹ درصد انتطبق دارد و اختلاف آنها مربوط به وجود سه جهش جایگزینی موازی^۱، چهار جهش جایگزینی متقطع^۲ و اضافه شدن ۶ نوکلئوتید در توالی ژنی رقم الوند می‌باشد. با توجه به اینکه ژن A1 دارای ۱۳ اینترون و ۱۱ اگزون می‌باشد و با در نظر گرفتن محل قرارگیری جهش‌های شناسایی شده در توالی ژنی Wx-A1 رقم الوند، مشخص می‌گردد که تنها جانشینی A با T در نوکلئوتید ۲۰۵۴ در توالی اگزون ژن فوق بوجود آمده است و بقیه جهش‌ها در توالی‌های اینtronی می‌باشند. نتیجه مقایسه توالی نوکلئوتیدی قطعه دوم ژن Wx-A1 رقم هامون با توالی ثبت شده در پایگاه NCBI نیز نشان داد که توالی ژن Wx-B1 دارای ۴ جهش جایگزینی موازی و یک جهش جایگزینی متقطع می‌باشد. از بین جهش‌های مشاهده شده در توالی هامون نیز سه جهش در اگزون ۲ و ۲ جهش در توالی اینtron‌ها قرار داشت. جایگزینی A با G و دو جانشینی A با T به ترتیب در نوکلئوتیدهای ۲۲۷۱، ۲۲۷۲ و ۲۰۵۴ در بخش اگزون قرار گرفته‌اند.

بر اساس بررسی‌های بیوانفورماتیکی، مشخص گردید که جایگزینی نوکلئوتید A با T در اگزون ژن Wx-A1 رقم الوند باعث شده است که $45^{\text{۳}}\text{۴}$ امین بنیان آمینواسید آنزیم GBSS آن نسبت به حالت وحشی از تریپتوفان (W) به آرژینین (R) تغییر پیدا کند. با وجود آنکه این تغییر اثر چندانی بر وضعیت آبدوستی/آبگریزی^۳ بنیان‌های آمینو اسیدی نشان نداد (داده‌های نشان داده نشده) اما ساختمان سه بعدی پروتئین را تغییر داده است (شکل ۲) جهش‌های شناسایی شده

و Wx-B1 در گندم‌های ایرانی و همچنین بررسی چند شکلی آنها بوده است. ارقام کرج^۱، کرج^۲، شیراز، کویر و پیشتر (مرسوم جهت کشت در مناطق معتدل)^۳; سیستان، دز، بم، داراب^۲ و هامون (مرسوم جهت کشت در مناطق گرم و خشک)^۴; اترک، الوند، روشن و شهریار (مرسوم جهت کشت در مناطق سرد)^۵; شیروودی (مرسوم جهت کشت در مناطق مطبوب شمال کشور)^۶; لاین‌های پیشرفته N81-18، D79 و گندم دوروم (تتراپلولید) رقم آریا^۷ و E85 جهت مطالعه انتخاب شدن. نمونه‌ها با استفاده از کیت^۸ GDP. استخراج گردید. آغازگرهای اختصاصی استفاده شده جهت جداسازی تمام طول ژن‌های Wx-B1، Wx-A1 با یک روش ابتکاری و بر اساس توالی ژن‌های وaksی A1 و B1 که به ترتیب با شماره‌های NCBI^۹ AB019623 و AB019622 ثبت شده‌اند، طراحی گردید. به منظور داشتن تمام طول ژن‌های وaksی، کل طول هر ژن، بوسیله ۲ جفت آغازگر پوشش داده شد (جدول ۱). دو جفت آغازگر استفاده شده جهت تکثیر Wx-A1 به ترتیب نوکلئوتیدهای ۱۲۰ و ۸۵۰ تا ۱۰۹۱ و ۲۳۳۵ ژن را پوشش می‌دادند. با استفاده از جفت آغازگر WxB1 (F,R) نوکلئوتیدهای ۱۷۵ تا ۱۰۱۴ و با استفاده از (F,R) WxB2 نوکلئوتیدهای ۹۷۵ تا ۱۹۲۷ ژن WxB1 تکثیر شدند (جدول ۱).

ضم آنزیمی نمونه‌ها: پس از تکثیر قطعات ژنی مدنظر، به منظور هضم قطعه اول Wx-A1 و Wx-B1 از آنزیم‌های SalI و PstI و استفاده شد. هضم قطعه دوم Wx-A1 با استفاده از آنزیم XapI و PstI صورت گرفت و جهت هضم قطعه دوم Wx-B1 نیز تنها از آنزیم PstI استفاده گردید؛ سپس محصولات هضم آنزیمی روی ژل پلی اکریل آمید ۷ درصد الکتروفورز شدند. به منظور ایجاد تفکیک بهتر بین نمونه‌ها در حین انجام الکتروفورز، بجای روش مرسوم استفاده از بافر (TBE^{۰/۰۵X})، الکتروفورز در حضور بافر (TME^{۰/۰۵X}) با pH=۶/۸ که دارای قدرت بافری بالاتری است (۱۸)، صورت گرفت. تعیین توالی و بررسی جهش‌ها: محصول PCR نمونه‌هایی که در الکتروفورز چند شکلی نشان دادند، جهت تعیین توالی به کشور کره (شرکت ماکرو ژن) ارسال شدند. با هم خط^{۱۰} کردن نتیجه تعیین توالی‌ها با توالی‌های موجود در پایگاه NCBI محل و نوع جهش‌ها بررسی گردید. با استفاده از امکانات پایگاه EXPASY نیز ساختار سه بعدی پروتئین‌های حاصل از جهش و همچنین نمونه‌های فاقد جهش تعیین و با استفاده از نرمافزار Rasmol با یکدیگر مقایسه شدند.

4- Transition

5- Transversion

6- Hydrophobicity

1- Genomic DNA Purification (Fermentas, #K0512)

2- National Center of Biotechnology Information

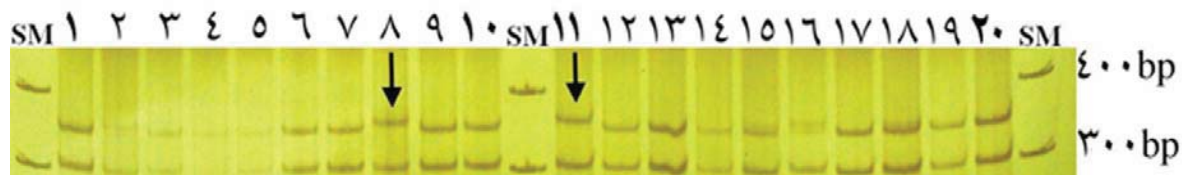
3- Align

است. بررسی تغییر وضعیت آبدوستی/آبگریزی حاصل از این جانشینی‌ها، نیز تغییرات محسوسی را نشان نداد (داده‌های نشان داده نشده) ولی ساختمان سوم پروتئین به دلیل حذف آمینو اسید پروولین بسیار تغییر کرده است (شکل ۳).

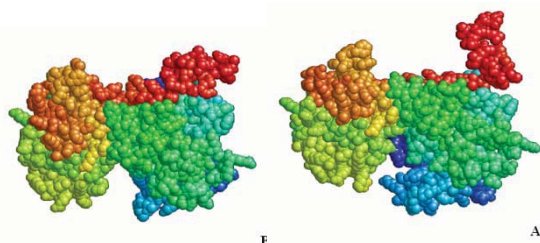
در اگزون‌های رقم هامون نیز باعث تغییر دو بنیان آمینو اسیدی در پروتئین حاصل از آن شده است. تبدیل T به A در نوکلئوتید ۲۰۵۴ باعث تغییر ۴۵۳ آمین بنیان آمینو اسیدی از تریپتوفان (W) به آرژنین (R) و تغییر نوکلئوتیدهای ۲۲۷۱ و ۲۲۷۲ از CG به AA باعث تبدیل پروولین (P) به لیزین (K) در ۴۹۵ آمین بنیان آمینو اسیدی آن شده

جدول ۱- توالی پرایمرهای طراحی شده تکثیر تمام طول ژن‌های Wx-A و Wx-B

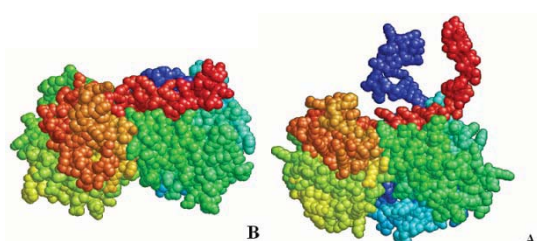
نام آغازگر	توالی آغازگر (۳.....۵)	دماي اتصال	قطعه تکثیر شده	طول قطعه
WxA1 F	GAA ACC GCA CCG ATT GG	۶۰	بخش اول Wx-A1	۹۷۱
WxA1 R	GCA CCA AGA TAC AAG GAA GAT			
WxA2 F	AGC ACT TGA GGT GCC CAG	۵۸	بخش دوم Wx-A1	۱۴۸۵
WxA2 R	GAG GAT CGA TGA GCA TAC G			
WxB1 F	CCC CGA AGC AAC AAA GCC	۵۷	بخش اول Wx-B1	۸۳۸
WxB1 R	GCT GCT GGG TGT TTG TTG			
WxB2 F	AGA TCA ACA ACA CCC AGC AG	۵۹	بخش دوم Wx-B1	۹۵۲
WxB2 R	TTG GGG TCG ATG ACG TAC			



شکل ۱- نتیجه بررسی نیمه دوم ژن Wx-A1 بر اساس تکنیک PCR-RFLP. ارقام مورد بررسی به ترتیب از چاهک شماره ۱ تا ۲۰ عبارتند از ۱- کرج، ۲- مرودشت، ۳- شیراز، ۴- کویر، ۵- پیشتر، ۶- سیستان، ۷- دز، ۸- هامون، ۹- بیم، ۱۰- داراب، ۱۱- الوند، ۱۲- اترک، ۱۳- روشن، ۱۴- شهریار، ۱۵- شیروودی، ۱۶- آریا و لاینهای پیشرفته ۱۷- D79، ۱۸- N81-18، ۱۹- A-19، ۲۰- E85. باندهای دارای چند شکلی ارقام هامون و الوند (چاهک‌های ۸ و ۱۱) با پیکان مشخص شده اند.



شکل ۲- نتیجه شبیه سازی ساختمان سوم پزوتئین GBSS. A: پروتئین وحشی و B: جهش یافته آن در رقم الوند: (پایگاه Expsy و نرم افزار Rasmol)



شکل ۳- نتیجه شبیه سازی ساختمان سوم پزوتئین GBSS وحشی و جهش یافته آن در رقم هامون. A: پروتئین وحشی و B: پروتئین جهش یافته (پایگاه Expsy و نرم افزار Rasmol)

بحث

ژن‌های مورد بررسی قرار داشتند، اما با توجه به اینکه اثبات شده است که تعییرات در توالی‌های اینترونی می‌تواند بر ویرایش یا میزان بیان یک ژن اثر بگذارد (۹ و ۱۶) این نوع جهش‌ها نیز از این جهت دارای اهمیت می‌باشند و نیاز به مطالعه بیشتری دارند.

تعییر ساختار سوم پروتئین GBSS در رقم الوند با توجه به تفاوت نسبی گروههای R آمینو اسیدهای جایگزین شده و با توجه به این نکته که بنیان آمینو اسیدهای آبگزیر در حین تشکیل ساختمان سوم پروتئین در بخش داخلی قرار گرفته و برهم کنش گروههای R آنها با یکدیگر عامل اصلی تشکیل این ساختمان است، قابل توجیه می‌باشد (۲۰ و ۲۱). در رابطه با رقم هامون نیز، نظر به استثنای بودن ساختار آمینو اسید پروولین در مقایسه با دیگر آمینو اسیدها و همچنین تاثیر آن بر ساختار دوم و سوم پروتئین‌ها و به طبع جایگاه فعل آنها (۲۰ و ۲۱) با قطعیت بیشتری می‌توان نتیجه گرفت که تعییر آمینو اسید پروولین در توالی پلی‌پیتیدی آنزیم GBSS رقم هامون با شدت بیشتری بر فعالیت آن تاثیرگذار باشد. به علاوه با توجه به این نکته که بیش از ۹۵ درصد جهش‌هایی که ساختار پروتئین را تعییر می‌دهند دارای تاثیر منفی بر عملکرد محصول ژن می‌باشند (۲۱)، می‌توان آنزیم GBSS حاصل از ژن Wx-A1 ارقام هامون و الوند را با احتمال بسیار بالاتری به عنوان آل‌های غیرفعال درنظر گرفت. نتیجه بررسی‌های شاهسوند (۲) برروی ژن‌های Wx گندم‌های رایج در خراسان فقدان وجود آل نول در رقم الوند را اثبات کرده بود که با نتایج پژوهش حاضر در تضاد است. این اختلاف در نتیجه گیری می‌تواند ناشی از این باشد که در روش مورد استفاده شاهسوند (۲)، معیار شناسایی آل نول، عدم تکثیر ژن یا مشاهده حذف و اضافه‌های متعدد در توالی ژن‌های واکسی بوده است در حالی که در پژوهش حاضر این ویژگی بر اساس اثر جهش‌های تک نوکلئوتیدی^۳ بر توالی آمینو اسیدی و ساختمان سوم پروتئین‌ها سنجیده شده است.

در نهایت با توجه به اینکه یکی از اصلی‌ترین علل بالا بودن میزان ضایعات نان در ایران، بیان شدن این فراورده می‌باشد و همانطور که اشاره شد این ضعف رابطه مستقیمی با نسبت آمیلوzuz تشکیل دهنده آرد دارد؛ با استفاده از نشاسته‌های واکسی می‌توان آن را به میزان قابل توجهی کاهش داد. به علاوه با توجه به اهمیت نشاسته‌های واکسی به ویژه در کشورهای شرق آسیا، تولید این‌گونه آردها و صادرات مستقیم و یا فراورده‌های حاصل از آنها می‌تواند سهم زیادی در ارز آوری برای کشور داشته باشد. به همین دلیل جهت استمرار این پژوهش و رسیدن به هدف نهایی آن که تولید گندم‌های نیمه‌واکسی و تمام‌واکسی از ارقام بومی می‌باشد، پیشنهاد می‌گردد که وضعیت آل‌های واکسی A1، B1 و D1 در سایر ارقام بومی،

با وجود آنکه اصلاح وضعیت پروتئین‌های ذخیره‌ای نشاسته بر کیفیت نانوایی بسیار موثر می‌باشد اما بهبود نسبت آمیلوzuz به آمیلوپکتین علاوه بر اهمیت داشتن در افزایش کیفیت فراورده‌های غذایی مختلف از جمله انواع نان و شیرینی، دارای کاربردهای صنعتی مختلفی نیز می‌باشد (۱۵ و ۲۲). به همین دلیل در بسیاری از برنامه‌های اصلاح کیفیت نانوایی گندم در ژاپن افزایش نسبت آمیلوپکتین آرد مد نظر قرار گرفته است (۲۲). در گذشته از روش‌های نورسنجی مختلفی جهت شناسایی ژرپلاسم‌هایی با محتوای آمیلوzuz پایین استفاده می‌شد و با وجود آنکه این روش‌ها ساده و نسبتاً کم هزینه بودند اما عدم دقت کافی آنها و درنتیجه پدیدار شدن نتایج نامطلوب از نظر این صفت در طی نسل‌های تفکیک و پیشرفتة برنامه‌های بلند مدت اصلاحی، باعث شد که روند استفاده از آن بخصوص در بررسی ارقام نیمه‌واکسی کمرنگ‌تر شود. هرچند روش‌هایی چون تفکیک پروتئین‌های واکسی با استفاده از روش‌های مبتنی بر SDS-PAGE و 2D-PAGE^۱ می‌تواند با دقت بسیار بالایی ارقام نیمه‌واکسی را از هم تمیز دهد ولی سختی مراحل خالص سازی نشاسته از آرد و بهینه‌سازی انجام الکتروفورز آن، کاربرد آنها را در برنامه‌های اصلاحی که در آن جمعیت‌های زیادی استفاده می‌شود، بسیار محدود می‌کند (۲۲). روش‌های دیگری همچون آزمون الایزا (۱۳ و ۱۴) و نور سنجی پرتو قرمز دور (۱۰) نیز که جهت بررسی گندم‌های واکسی و نیمه‌واکسی استفاده شده‌اند، با وجود داشتن دقت مناسب و همچنین امکان انجام مکانیزه برخی از مراحل آنها، به دلیل عدم توانایی در تفکیک موتانت‌های هموزیگوت از هتروزیگوت‌ها محدود به استفاده در موارد خاصی شده‌اند. به علاوه با وجود آنکه شناسایی و مطالعه موتانت‌های واکسی در برخی از گونه‌های گیاهی در قرن نوزدهم میلادی صورت گرفت، اما مطالعه این‌گونه موتانت‌ها در گندم همگزای پلئید به پانزده سال اخیر بر می‌گردد (۲۲) که گاه‌آما به دلیل پراکندگی بررسی‌ها نیاز به مطالعات بیشتر در این زمینه را دو چندان می‌کند.

در هیچ یک از ارقام مورد بررسی در پژوهش حاضر وجود چندشکلی در مکان ژنی Bx-B1 مشخص نگردید. این نتیجه گیری با نظر ناکامورا و همکاران (۱۹) که مکان جغرافیایی پراکنش آل‌های Wx-A1b را مربوط به آسیا (ژاپن، کره و ترکیه) و پراکنش اکثر گندم‌های حامل آل نول x-B1 را مربوط به استرالیا می‌دانست انتطبق دارد. با وجود آنکه اکثر جهش‌های شناسایی شده در اینتررون

شماره ۱۱۸۳ پ تأمین گردید که بدینوسیله از مساعدت حوزه معاونت پژوهشی دانشکده کشاورزی تشکر و قدردانی می گردد. همچنین از آقای دکتر محمد زارع مهرجردی بخاطر راهنمایی های ارزندهای که در تحلیل های بیوانفورماتیکی داده ها ارائه فرمودند، تشکر به عمل می آید.

تجاری و ارقام وحشی و خویشاوندان گندم که می توانند به عنوان والد بخشندۀ این ژن در برنامه های اصلاحی بکار روند مورد ارزیابی قرار گیرد. همچنین می توان با استفاده از روش های مختلف جهش زایی و یا با استفاده از ارقام نیمه واکسی موجود در بانک های ژن بین المللی و یا با بهره گیری از روش های مبتنی بر خاموشی ژن امکان تولید گندم هایی با محتوای اندک آنزیم GBSS بررسی گردد.

قدرتانی

بودجه انجام این طرح از محل پژوهانه دانشگاه فردوسی مشهد به

منابع

- ابراهیم زاده، ش. ۱۳۸۴. بررسی اثر افزودنی ها بر خواص رئولوژیکی خمیر، ماندگاری و کیفیت نان ببری حاصل از آردهای تجاری مختلف. پایان نامه دوره کارشناسی ارشد، دانشگاه فردوسی مشهد.
- شاهسوند، م. ۱۳۸۲. بررسی ژن واکسی (Wx) در گندم های هگزاپلاؤئید رایج در منطقه با استفاده از تکنیک های PCR و SDS-PAGE. پایان نامه دوره کارشناسی ارشد، دانشگاه فردوسی مشهد.
- ولی الهی، ا. ۱۳۸۸. جداسازی ژن موثر در تحمل به سرما (Wcor14) از گندم های زراعی ایران و بررسی سطح بیان این ژن در تیمار های سرمایی مختلف. پایان نامه دوره کارشناسی ارشد، دانشگاه شیراز.
- 4- Alejandra, C.M. 1999. Molecular Characterization of Waxy Mutants In Hexaploid Wheat. PhD Thesis. University Of Saskatchewan.
- 5- Alistair, M.S., G.O. Phillips and P.A. Williams. 2006. Food Polysaccharides and Their Applications 2nd Ed. CRC. New York.
- 6- Bachelor, S., E. Booth., G. Entwistle., K. Walker., T. Ap-Rees., A. Hacking., G. Mackay and I. Morrison. 1996. Industrial Marker For UK-Grown Crop Polysacharids. Home-Grown Cereals Authority Research Rev. 32: 7-14.
- 7- Brown, W.H.; T. Poon. 2005. Introduction To Organic Chemistry. 3rd.Ed. Wiley. New York.
- 8- Boyer, C.D., and L.C. Hannah. 1994. Kernel Mutants of Corn. Specialty Corns. 10: 2-28.
- 9- Claustres, M. 2005. Guide to Mutation Detection. 1st Ed. Wiley. New Jersey.
- 10- Delwiche, S.R. 2006. Single Kernel Near-Infrared Analysis of Tetraploid (Durum) Wheat for Classification of the Waxy Condition. Cereal Chemistry. 83: 287-292.
- 11- Eliasson, A.C. 2004. Starch in Food: Structure, Function and Applications. 1st Ed. Woodhead. London.
- 12- Ellis, R.P., M.P. Cochrane., M.F.B. Dale., C.M. Duffus, A. Lynn., I.M., Morrison, R.D.M. Prentice., J.S. Swanston and S.A. Tiller. 1998. Starch Production and Industrial Use. Food Science and Agriculture. 77: 289-311.
- 13- Gale, K.R., M.J. Blundell and A.S. Hill. 2001. Application of a High-Throughput Antibody-Based Assay For Identification of The Granule Bound Starch Synthase Wx-B1b Allele In Australian Wheat Lines. Australian Agriculture. Research. 52: 1417-1423.
- 14- Gale, K.R., M.J. Blundell and A.S. Hill. 2004. Development of a Simple, Antibody-Based Test For Granule Bound Starch Synthase Wx-B1b (Null-4A) Wheat Varieties. Cereal Science. 40: 85-92.
- 15- Graybosch, R.A., K.J. Schemmerhorn., and J.H. Skerritt. 1999. An Enzyme-Linked Immunosorbent Assay for the Identification of Wheat Carrying Null Alleles at Genetic Loci Encoding the Granule-Bound Starch Synthases. Cereal Science. 30: 159-163.
- 16- Griffiths, A.J.G., W.M. Gelbart and J.H. Miller. 1999. Modern Genetics Analysis. 7th Ed. Donnelly and Sons. New York.
- 17- Hayakawa, K., K. Tanaka, T. Nakamura., S. Endo and T. Hoshino. 1997 Quality Characteristics of Waxy Hexaploid Wheat (*Triticum Aestivum L.*): Properties of Starch Gelatinization and Retrogradation. Cereal Chemistry. 74: 576-580.
- 18- Kukita, Y., T. Tahira., S.S. Sommer and K. Hayashi. 1997. SSCP Analysis of Long DNA Fragment in Low pH Gel. Human Mutation, 10: 400-407.
- 19- Nakamura, T., M. Yamamori., H. Hirano and S. Hidaka. 1993. Identification of Three Wx Proteins in Wheat. Biochemical Genetics. 31: 75-86.
- 20- Pace, C., B. Shirley., M. Mcnutt and K. Gajiwala. 1996. Forces Contributing to the Conformational Stability of Proteins. FASEB. 10: 75-83.

- 21- Rose, G., P. Fleming., J. Banavar and A. Maritan. 2006. A Backbone-Based Theory of Protein Folding. Proceedings of Academic National Science. USA. 103: 1623-1633.
- 22- Saito, M., P. Vrinten and T. Nakamura. 2010. DNA Markers for Identifying Waxy Mutations and Improving Noodle Quality in Wheat. Japan International Research Center for Agriculture Science. 44:109-115.
- 23- Smith, A.M., K. Denyer and C. Martin. 1997. The Synthesis of The Starch Granule. Annual Review, Plant Physiology and Plant Molecular Biology. 48:67-87.
- 24- Yamamori, M., T. Nakamura., T.R. Endo and T. Nagamine. 1994. Waxy Protein Deficiency and Chromosomal Locations of Coding Genes. of Common Wheat. Theoretical and. Applied. Genetics. 89: 179-184.
- 25- Yasui, T., J. Matsuki., T. Sasaki and M. Yamamori. 1996. Amylose and Lipid Contents, Amylopectin Structure, and Gelatinisation Properties of Waxy Wheat (*Triticum Aestivum*) Starch. Cereal Science. 24: 131-137.